

Ein- und Ausgabe: Offset-Reflektiv-System ORS18a für relativen CIELAB-Buntton $h_{ab,a,rel} = h_{ab}/360 = 102/360 = 0.28$

$H^*_ = Y25G_ -$

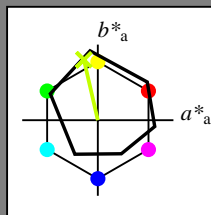
Daten für jede Geräte- (d) oder Elementarfarbe (e):

$HIC^*_ -$

Bunttontext für die Farben dieser Seite:

$H^*_ = Y25G_ -$

Dreiecks-Helligkeit T^*



ORS18a; adaptierte CIELAB-Daten

Name	$L^*=L^*_a a^*_a$	b^*_a	$C^*_{ab,a}$	$h^*_{ab,a}$	
R _{-,Ma}	47.9	65.3	50.5	82.6	37
Y _{-,Ma}	90.3	-10.2	91.7	92.3	96
G _{-,Ma}	50.9	-62.8	34.9	71.9	150
C _{-,Ma}	58.6	-30.3	-45.0	54.2	236
B _{-,Ma}	25.7	31.0	-44.4	54.2	305
M _{-,Ma}	48.1	75.2	-8.3	75.7	353
N _{-,Ma}	18.0	0.0	0.0	0.0	0
W _{-,Ma}	95.4	0.0	0.0	0.0	0
R _{-,CIE}	39.9	58.7	27.9	65.0	25
Y _{-,CIE}	81.2	-2.8	71.5	71.6	92
G _{-,CIE}	52.2	-42.4	13.6	44.5	162
B _{-,CIE}	30.5	1.4	-46.4	46.4	271

Daten für Maximalfarbe (Ma):

$LabCh^*_{-,Ma}$: 83 -18 79 81 102

$HIC^*_{-,Ma}$: Y25G_100_100_

$rgbic^*_{-,Ma}$:

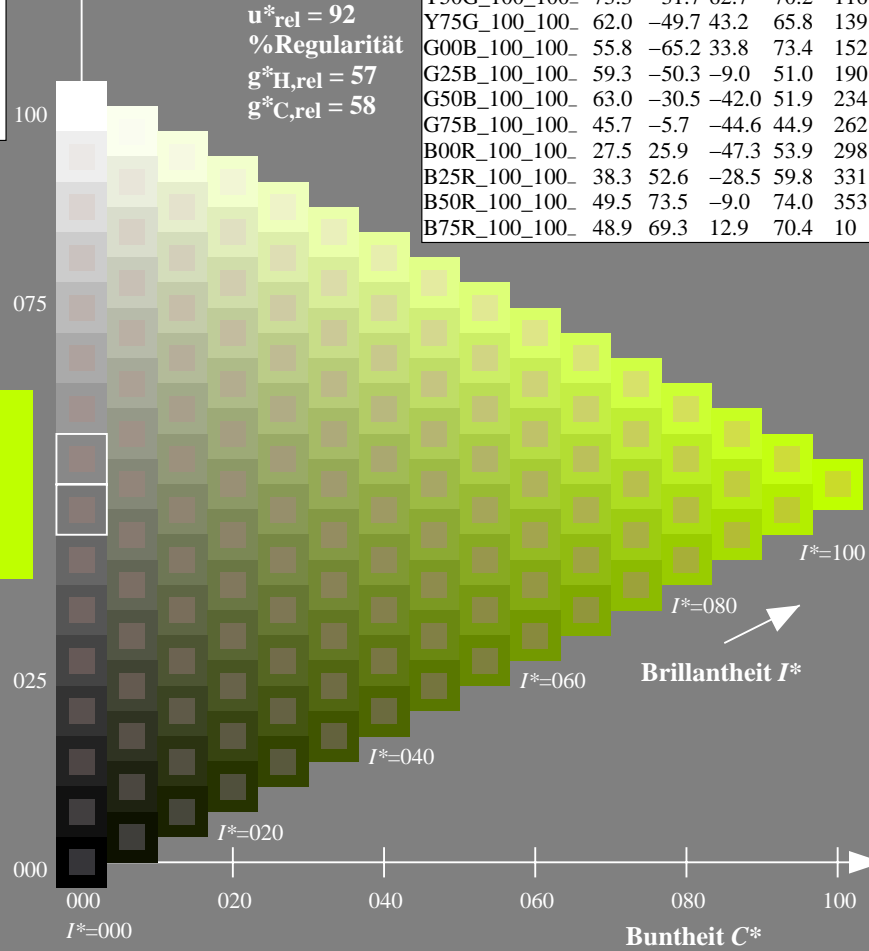
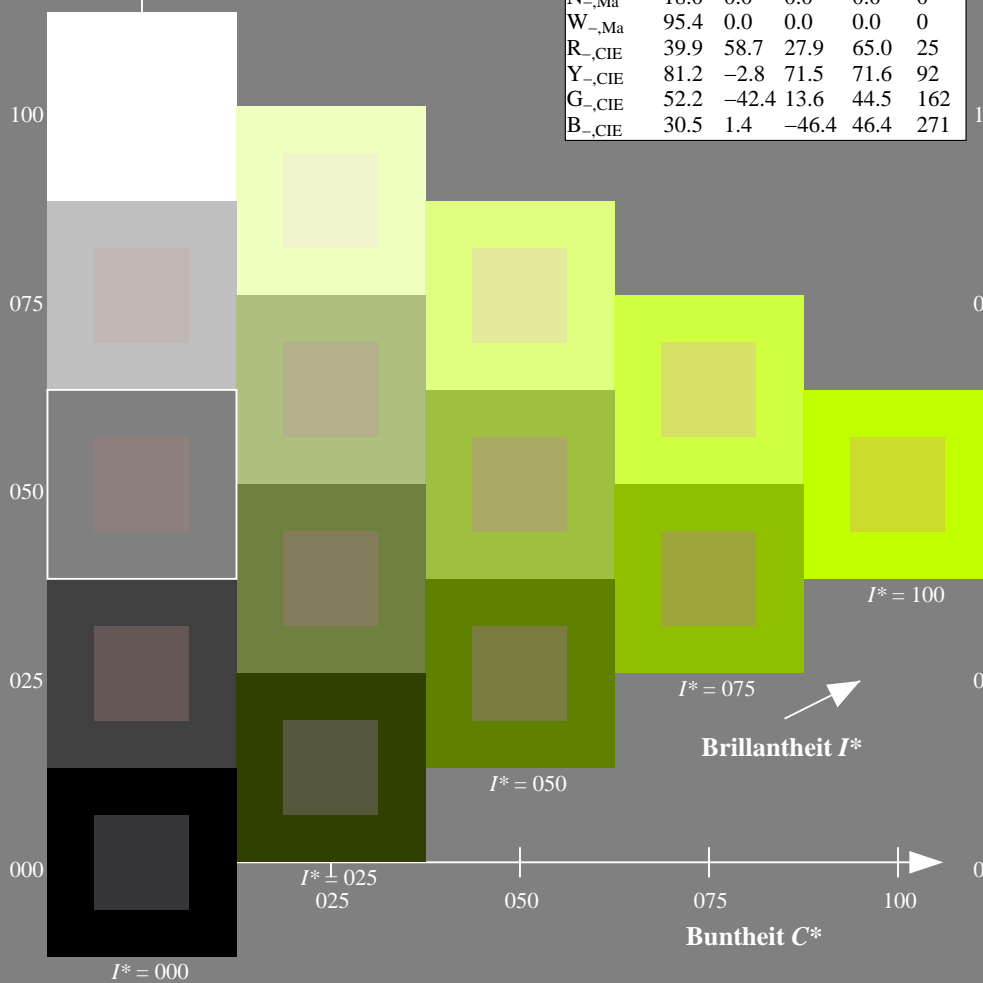
0.76 1.0 0.0 1.0 1.0

Dreiecks-Helligkeit T^*

%Umfang
 $u^*_{rel} = 92$
 %Regularität
 $g^*_{H,rel} = 57$
 $g^*_{C,rel} = 58$

ORS20a; adaptierte CIELAB-Daten

$H^*_ -$	$L^*=L^*_a a^*_a$	b^*_a	$C^*_{ab,a}$	$h^*_{ab,a}$	
R00Y_100_100_	48.4	66.1	40.2	77.3	31
R25Y_100_100_	56.8	48.0	50.5	69.6	46
R50Y_100_100_	68.6	25.0	63.9	68.6	68
R75Y_100_100_	80.6	4.8	77.2	77.3	86
Y00G_100_100_	90.2	-9.6	88.2	88.7	96
Y25G_100_100_	83.2	-18.4	79.9	81.9	102
Y50G_100_100_	73.3	-31.7	62.7	70.2	116
Y75G_100_100_	62.0	-49.7	43.2	65.8	139
G00B_100_100_	55.8	-65.2	33.8	73.4	152
G25B_100_100_	59.3	-50.3	-9.0	51.0	190
G50B_100_100_	63.0	-30.5	-42.0	51.9	234
G75B_100_100_	45.7	-5.7	-44.6	44.9	262
B00R_100_100_	27.5	25.9	-47.3	53.9	298
B25R_100_100_	38.3	52.6	-28.5	59.8	331
B50R_100_100_	49.5	73.5	-9.0	74.0	353
B75R_100_100_	48.9	69.3	12.9	70.4	10



Siehe ähnliche Dateien: <http://130.149.60.45/~farbmetrik/QG47/QG47L0FP.PDF> / .PS
 Technische Information: <http://www.ps.bam.de> oder <http://130.149.60.45/~farbmetrik>

TUB-Registrierung: 20130201-QG47/QG47L0FP.PDF /.PS
 Anwendung für Messung von Offsetdruck-Ausgabe

TUB-Material: Code=rh4ta

Ein- und Ausgabe: Offset-Reflektiv-System ORS18a für relativen CIELAB-Bunton $h_{ab,a,rel} = h_{ab}/360 = 101/360 = 0.28$

$H^*_d = Y25G_d$

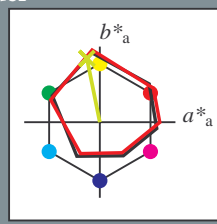
Daten für jede Geräte- (d) oder Elementarfarbe (e):

HIC^*_d

Buntoncode für die Farben dieser Seite:

$H^*_d = Y25G_d$

Dreiecks-Helligkeit T^*



ORS20a; adaptierte CIELAB-Daten

Name	$L^*=L^*_a a^*_a$	b^*_a	$C^*_{ab,a}$	$h^*_{ab,a}$
R _d ,Ma	45.4	70.9	44.8	83.9
Y _d ,Ma	87.8	-10.2	95.4	96.0
G _d ,Ma	50.0	-65.0	29.6	71.4
C _d ,Ma	56.8	-25.5	-41.5	48.7
B _d ,Ma	25.0	29.5	-40.4	50.0
M _d ,Ma	46.1	79.3	-0.2	79.3
N _d ,Ma	24.3	0.0	0.0	0.0
W _d ,Ma	95.6	0.0	0.0	0.0
R _d ,CIE	39.9	58.7	27.9	65.0
Y _d ,CIE	81.2	-2.8	71.5	71.6
G _d ,CIE	52.2	-42.4	13.6	44.5
B _d ,CIE	30.5	1.4	-46.4	46.4

Daten für Maximalfarbe (Ma):

$LabCh^*_d, Ma$: 81 -17 84 86 101

HIC^*_d, Ma : Y25G_100_100d

$rgbic^*_d, Ma$:

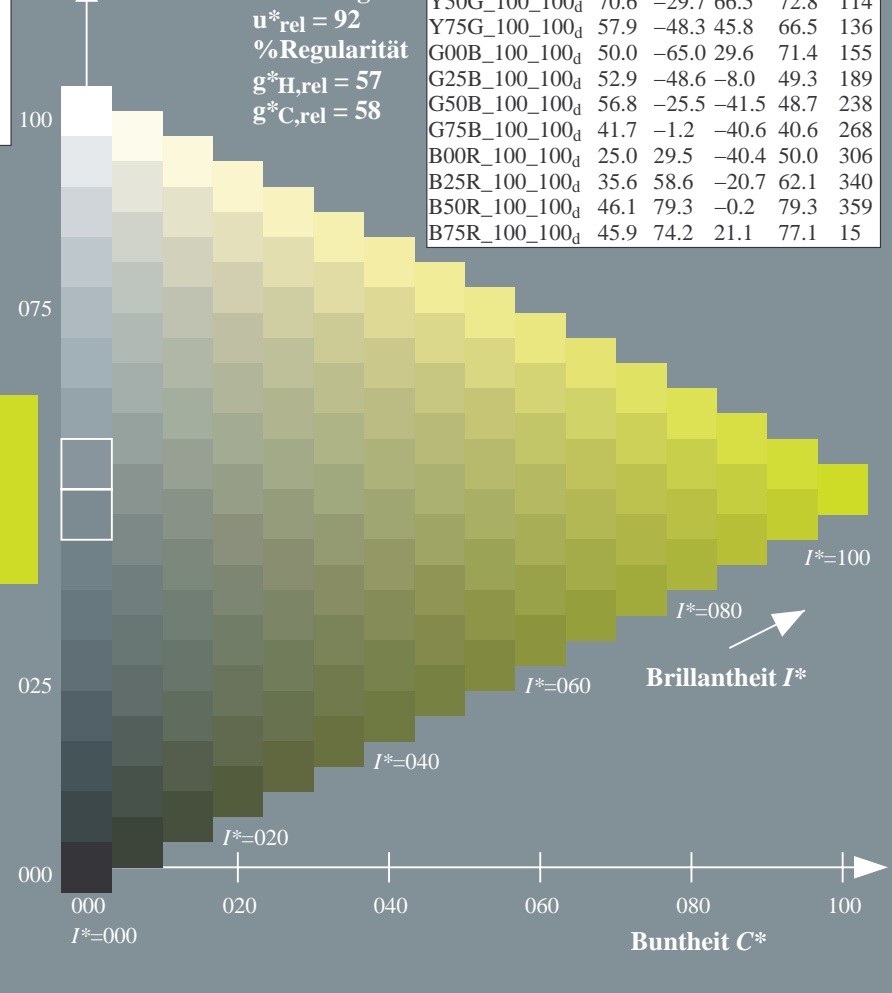
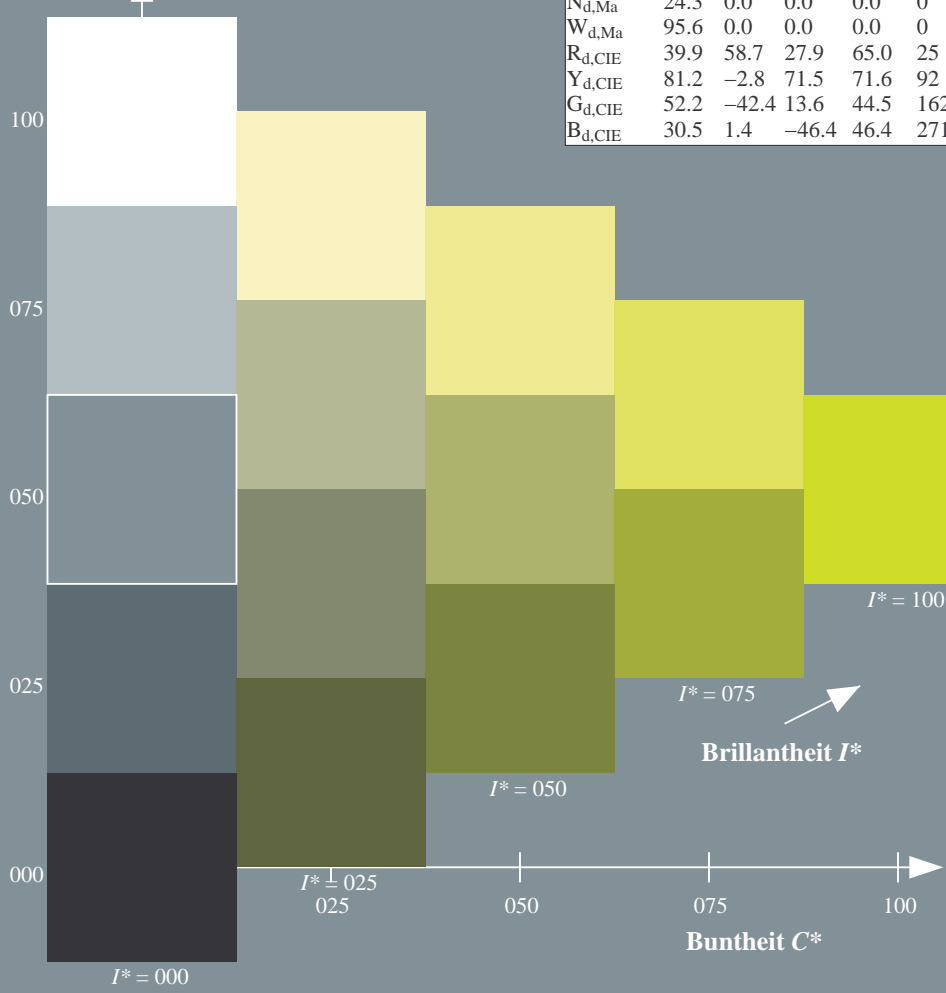
0.76 1.0 0.0 1.0 1.0

Dreiecks-Helligkeit T^*

%Umfang
 $u^*_{rel} = 92$
%Regularität
 $g^*_{H,rel} = 57$
 $g^*_{C,rel} = 58$

ORS20a; adaptierte CIELAB-Daten

H^*_d	$L^*=L^*_a a^*_a$	b^*_a	$C^*_{ab,a}$	$h^*_{ab,a}$
R00Y_100_100d	45.4	70.9	44.8	83.9
R25Y_100_100d	53.0	53.4	54.8	76.5
R50Y_100_100d	64.9	28.9	68.6	74.5
R75Y_100_100d	78.6	4.3	84.7	84.8
Y00G_100_100d	87.8	-10.2	95.4	96.0
Y25G_100_100d	81.2	-17.0	84.3	86.0
Y50G_100_100d	70.6	-29.7	66.5	72.8
Y75G_100_100d	57.9	-48.3	45.8	66.5
G00B_100_100d	50.0	-65.0	29.6	71.4
G25B_100_100d	52.9	-48.6	-8.0	49.3
G50B_100_100d	56.8	-25.5	-41.5	48.7
G75B_100_100d	41.7	-1.2	-40.6	40.6
B00R_100_100d	25.0	29.5	-40.4	50.0
B25R_100_100d	35.6	58.6	-20.7	62.1
B50R_100_100d	46.1	79.3	-0.2	79.3
B75R_100_100d	45.9	74.2	21.1	77.1



Siehe ähnliche Dateien: <http://130.149.60.45/~farbmetrik/QG47/QG47L0FP.PDF> / .PS
Technische Information: <http://www.ps.bam.de> oder <http://130.149.60.45/~farbmetrik>

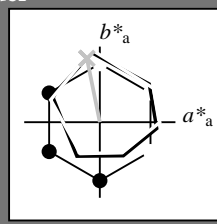
TUB-Registrierung: 20130201-QG47/QG47L0FP.PDF /.PS
Anwendung für Messung von Offsetdruck-Ausgabe, Separation $cmY0^*$ (CMY0)
TUB-Material: Code=rh4ta

Ein- und Ausgabe: Offset-Reflektiv-System ORS18a für relativen CIELAB-Bunton $h_{ab,a,rel} = h_{ab}/360 = 101/360 = 0.28$

$H^*_d = Y25G_d$

Daten für jede Geräte- (d) oder Elementarfarbe (e):

HIC^*_d
Buntoncode für die Farben dieser Seite:
 $H^*_d = Y25G_d$
Dreiecks-Helligkeit T^*



ORS20a; adaptierte CIELAB-Daten

Name	$L^*=L^*_a$	a^*_a	b^*_a	$C^*_{ab,a}$	$h^*_{ab,a}$
R _{d, Ma}	45.4	70.9	44.8	83.9	32
Y _{d, Ma}	87.8	-10.2	95.4	96.0	96
G _{d, Ma}	50.0	-65.0	29.6	71.4	155
C _{d, Ma}	56.8	-25.5	-41.5	48.7	238
B _{d, Ma}	25.0	29.5	-40.4	50.0	306
M _{d, Ma}	46.1	79.3	-0.2	79.3	359
N _{d, Ma}	24.3	0.0	0.0	0.0	0
W _{d, Ma}	95.6	0.0	0.0	0.0	0
R _{d, CIE}	39.9	58.7	27.9	65.0	25
Y _{d, CIE}	81.2	-2.8	71.5	71.6	92
G _{d, CIE}	52.2	-42.4	13.6	44.5	162
B _{d, CIE}	30.5	1.4	-46.4	46.4	271

Daten für Maximalfarbe (Ma):

$LabCh^*_d, Ma$: 81 -17 84 86 101

HIC^*_d, Ma : Y25G_100_100d

$rgbic^*_d, Ma$:

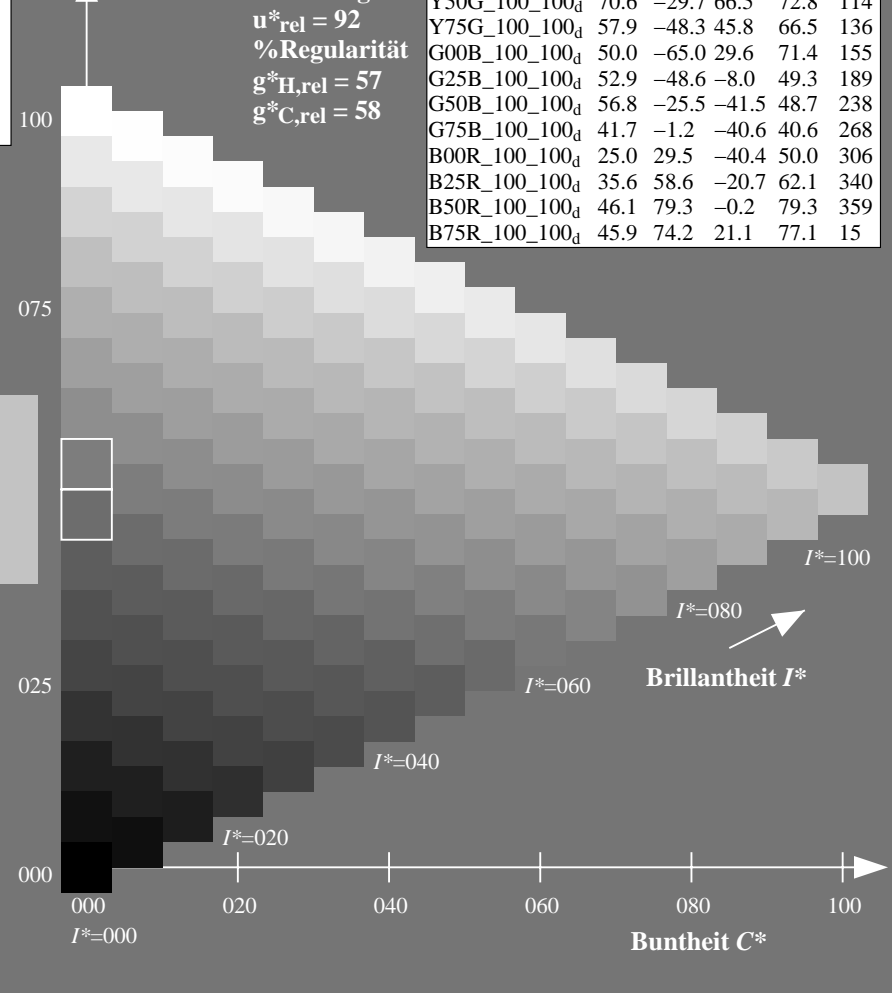
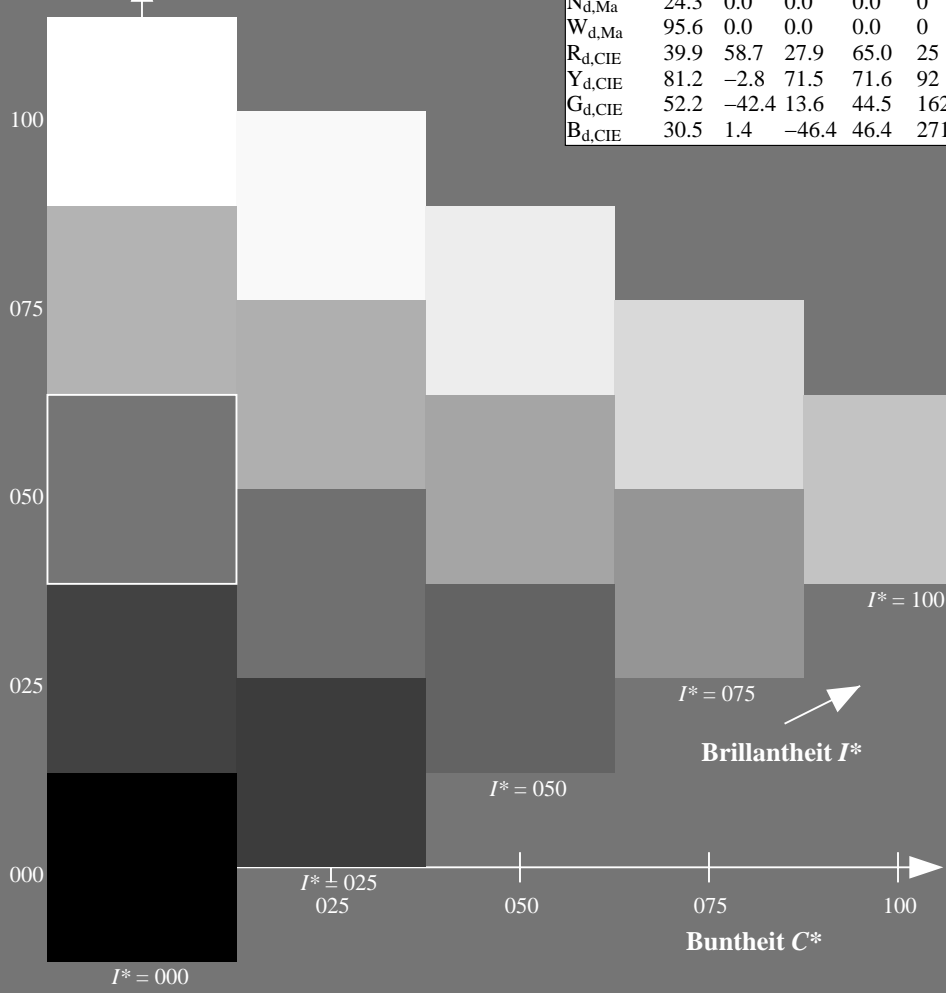
0.76 1.0 0.0 1.0 1.0

Dreiecks-Helligkeit T^*

%Umfang
 $u^*_{rel} = 92$
%Regularität
 $g^*_{H,rel} = 57$
 $g^*_{C,rel} = 58$

ORS20a; adaptierte CIELAB-Daten

H^*_d	$L^*=L^*_a$	a^*_a	b^*_a	$C^*_{ab,a}$	$h^*_{ab,a}$
R00Y_100_100d	45.4	70.9	44.8	83.9	32
R25Y_100_100d	53.0	53.4	54.8	76.5	45
R50Y_100_100d	64.9	28.9	68.6	74.5	67
R75Y_100_100d	78.6	4.3	84.7	84.8	87
Y00G_100_100d	87.8	-10.2	95.4	96.0	96
Y25G_100_100d	81.2	-17.0	84.3	86.0	101
Y50G_100_100d	70.6	-29.7	66.5	72.8	114
Y75G_100_100d	57.9	-48.3	45.8	66.5	136
G00B_100_100d	50.0	-65.0	29.6	71.4	155
G25B_100_100d	52.9	-48.6	-8.0	49.3	189
G50B_100_100d	56.8	-25.5	-41.5	48.7	238
G75B_100_100d	41.7	-1.2	-40.6	40.6	268
B00R_100_100d	25.0	29.5	-40.4	50.0	306
B25R_100_100d	35.6	58.6	-20.7	62.1	340
B50R_100_100d	46.1	79.3	-0.2	79.3	359
B75R_100_100d	45.9	74.2	21.1	77.1	15



Siehe ähnliche Dateien: <http://130.149.60.45/~farbmetrik/QG47/QG47L0FP.PDF> / .PS
Technische Information: <http://www.ps.bam.de> oder <http://130.149.60.45/~farbmetrik>

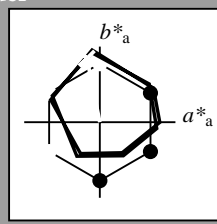
TUB-Registrierung: 20130201-QG47/QG47L0FP.PDF /.PS
Anwendung für Messung von Offsetdruck-Ausgabe, Separation $cmY0^*$ (CMY0)
TUB-Material: Code=rh4ta

Ein- und Ausgabe: Offset-Reflektiv-System ORS18a für relativen CIELAB-Buntton $h_{ab,a,rel} = h_{ab}/360 = 101/360 = 0.28$

$H^*_d = Y25G_d$

Daten für jede Geräte- (d) oder Elementarfarbe (e):

HIC^*_d
Bunttontext für die Farben dieser Seite:
 $H^*_d = Y25G_d$
Dreiecks-Helligkeit T^*



ORS20a; adaptierte CIELAB-Daten

Name	$L^*=L^*_a$	a^*_a	b^*_a	$C^*_{ab,a}$	$h^*_{ab,a}$
R _{d, Ma}	45.4	70.9	44.8	83.9	32
Y _{d, Ma}	87.8	-10.2	95.4	96.0	96
G _{d, Ma}	50.0	-65.0	29.6	71.4	155
C _{d, Ma}	56.8	-25.5	-41.5	48.7	238
B _{d, Ma}	25.0	29.5	-40.4	50.0	306
M _{d, Ma}	46.1	79.3	-0.2	79.3	359
N _{d, Ma}	24.3	0.0	0.0	0.0	0
W _{d, Ma}	95.6	0.0	0.0	0.0	0
R _{d, CIE}	39.9	58.7	27.9	65.0	25
Y _{d, CIE}	81.2	-2.8	71.5	71.6	92
G _{d, CIE}	52.2	-42.4	13.6	44.5	162
B _{d, CIE}	30.5	1.4	-46.4	46.4	271

Daten für Maximalfarbe (Ma):

$LabCh^*_d, Ma$: 81 -17 84 86 101

HIC^*_d, Ma : Y25G_100_100d

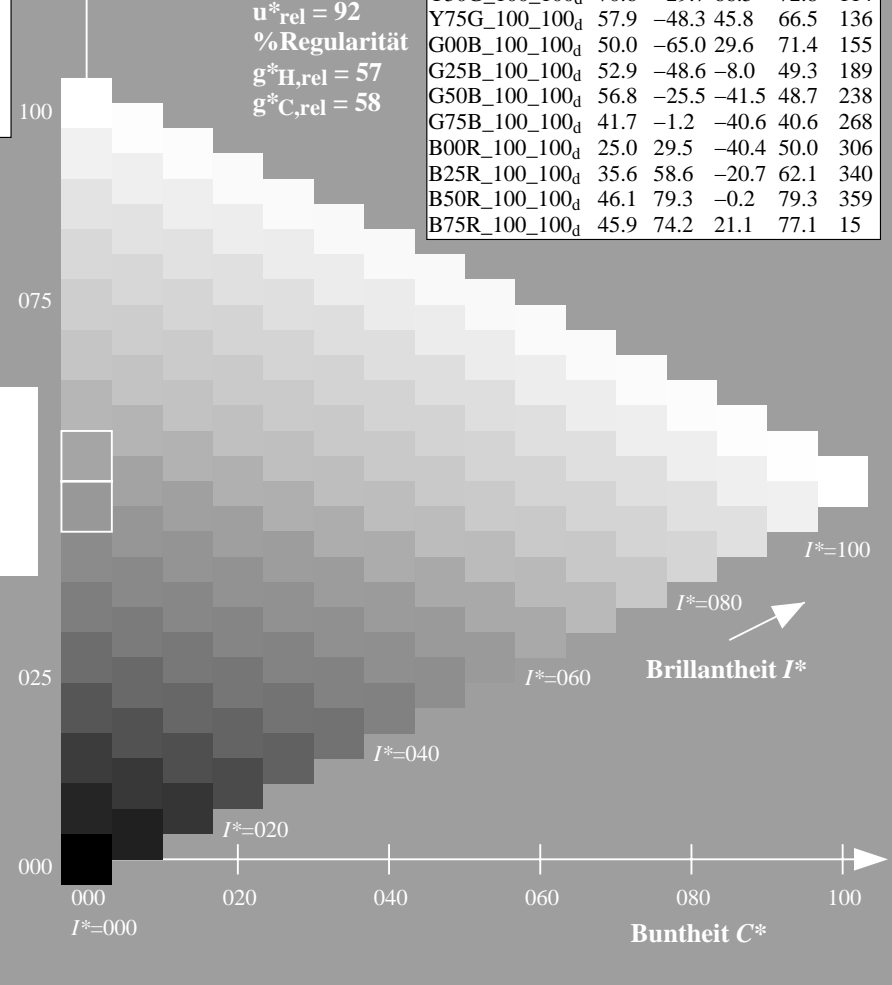
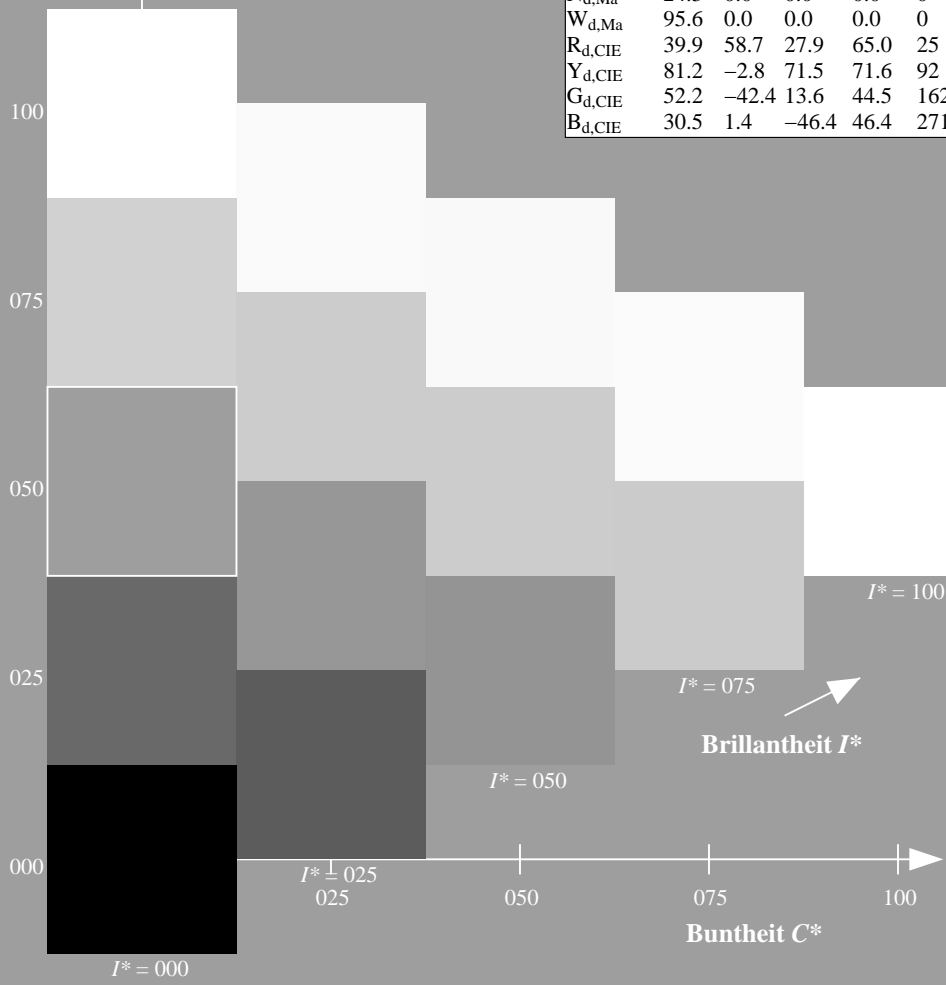
$rgbic^*_d, Ma$:
0.76 1.0 0.0 1.0 1.0

Dreiecks-Helligkeit T^*

ORS20a; adaptierte CIELAB-Daten

H^*_d	$L^*=L^*_a$	a^*_a	b^*_a	$C^*_{ab,a}$	$h^*_{ab,a}$
R00Y_100_100d	45.4	70.9	44.8	83.9	32
R25Y_100_100d	53.0	53.4	54.8	76.5	45
R50Y_100_100d	64.9	28.9	68.6	74.5	67
R75Y_100_100d	78.6	4.3	84.7	84.8	87
Y00G_100_100d	87.8	-10.2	95.4	96.0	96
Y25G_100_100d	81.2	-17.0	84.3	86.0	101
Y50G_100_100d	70.6	-29.7	66.5	72.8	114
Y75G_100_100d	57.9	-48.3	45.8	66.5	136
G00B_100_100d	50.0	-65.0	29.6	71.4	155
G25B_100_100d	52.9	-48.6	-8.0	49.3	189
G50B_100_100d	56.8	-25.5	-41.5	48.7	238
G75B_100_100d	41.7	-1.2	-40.6	40.6	268
B00R_100_100d	25.0	29.5	-40.4	50.0	306
B25R_100_100d	35.6	58.6	-20.7	62.1	340
B50R_100_100d	46.1	79.3	-0.2	79.3	359
B75R_100_100d	45.9	74.2	21.1	77.1	15

%Umfang
 $u^*_{rel} = 92$
%Regularität
 $g^*_H, rel = 57$
 $g^*_C, rel = 58$



Siehe ähnliche Dateien: <http://130.149.60.45/~farbmetrik/QG47/QG47L0FP.PDF> / .PS
Technische Information: <http://www.ps.bam.de> oder <http://130.149.60.45/~farbmetrik>

TUB-Registrierung: 20130201-QG47/QG47L0FP.PDF /.PS
Anwendung für Messung von Offsetdruck-Ausgabe, Separation $cmY0^*$ (CMY0)
TUB-Material: Code=rh4ta



Ein- und Ausgabe: Offset-Reflektiv-System ORS18a für relativen CIELAB-Bunton $h_{ab,a,rel} = h_{ab}/360 = 101/360 = 0.28$

$H^*_d = Y25G_d$

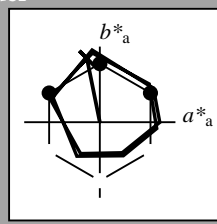
Daten für jede Geräte- (d) oder Elementarfarbe (e):

HIC^*_d

Buntoncode für die Farben dieser Seite:

$H^*_d = Y25G_d$

Dreiecks-Helligkeit T^*



ORS20a; adaptierte CIELAB-Daten

Name	$L^*=L^*_a$	a^*_a	b^*_a	$C^*_{ab,a}$	$h^*_{ab,a}$
R _{d, Ma}	45.4	70.9	44.8	83.9	32
Y _{d, Ma}	87.8	-10.2	95.4	96.0	96
G _{d, Ma}	50.0	-65.0	29.6	71.4	155
C _{d, Ma}	56.8	-25.5	-41.5	48.7	238
B _{d, Ma}	25.0	29.5	-40.4	50.0	306
M _{d, Ma}	46.1	79.3	-0.2	79.3	359
N _{d, Ma}	24.3	0.0	0.0	0.0	0
W _{d, Ma}	95.6	0.0	0.0	0.0	0
R _{d, CIE}	39.9	58.7	27.9	65.0	25
Y _{d, CIE}	81.2	-2.8	71.5	71.6	92
G _{d, CIE}	52.2	-42.4	13.6	44.5	162
B _{d, CIE}	30.5	1.4	-46.4	46.4	271

Daten für Maximalfarbe (Ma):

$LabCh^*_d, Ma$: 81 -17 84 86 101

HIC^*_d, Ma : Y25G_100_100d

$rgbic^*_d, Ma$:

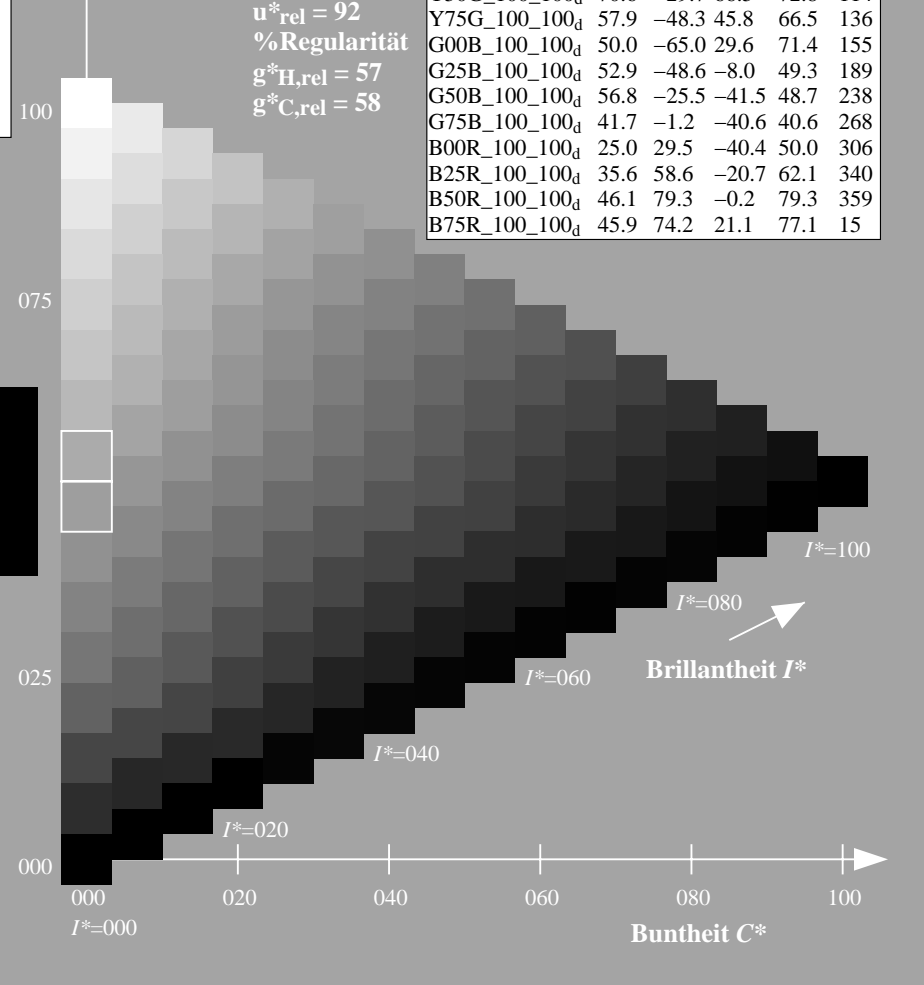
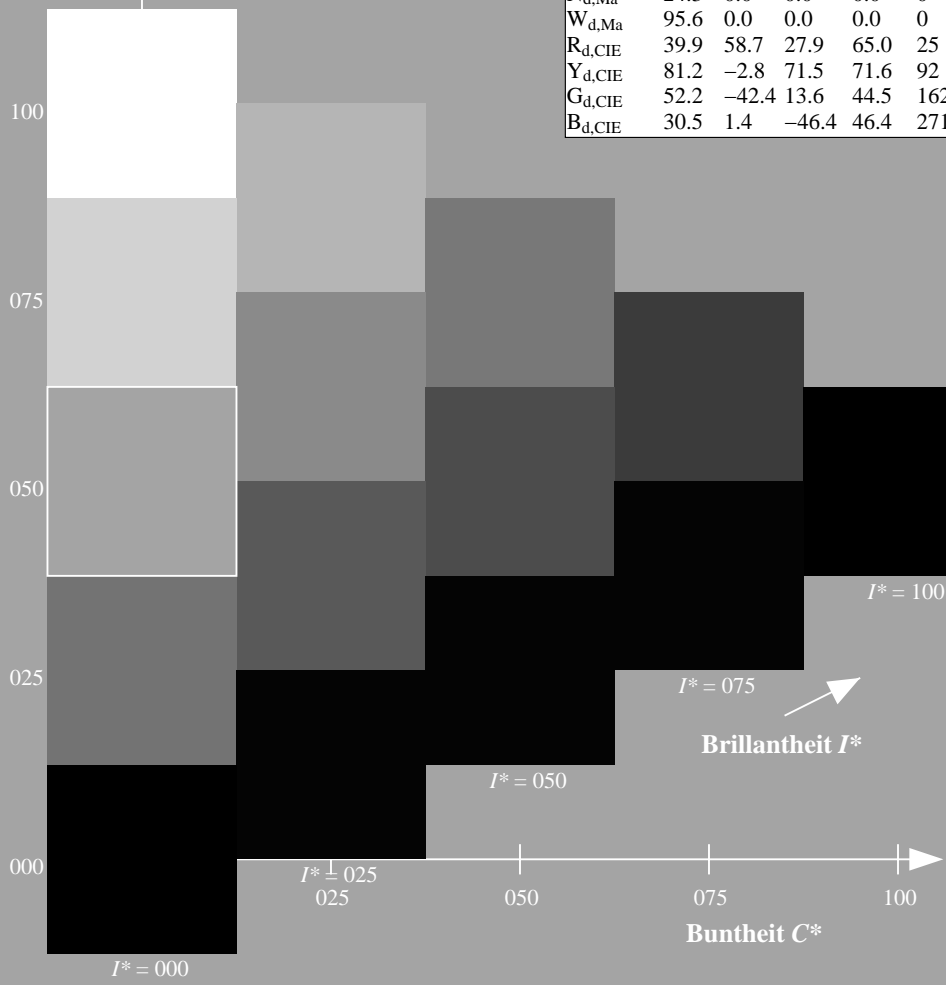
0.76 1.0 0.0 1.0 1.0

Dreiecks-Helligkeit T^*

%Umfang
 $u^*_{rel} = 92$
%Regularität
 $g^*_H, rel = 57$
 $g^*_C, rel = 58$

ORS20a; adaptierte CIELAB-Daten

H^*_d	$L^*=L^*_a$	a^*_a	b^*_a	$C^*_{ab,a}$	$h^*_{ab,a}$
R00Y_100_100d	45.4	70.9	44.8	83.9	32
R25Y_100_100d	53.0	53.4	54.8	76.5	45
R50Y_100_100d	64.9	28.9	68.6	74.5	67
R75Y_100_100d	78.6	4.3	84.7	84.8	87
Y00G_100_100d	87.8	-10.2	95.4	96.0	96
Y25G_100_100d	81.2	-17.0	84.3	86.0	101
Y50G_100_100d	70.6	-29.7	66.5	72.8	114
Y75G_100_100d	57.9	-48.3	45.8	66.5	136
G00B_100_100d	50.0	-65.0	29.6	71.4	155
G25B_100_100d	52.9	-48.6	-8.0	49.3	189
G50B_100_100d	56.8	-25.5	-41.5	48.7	238
G75B_100_100d	41.7	-1.2	-40.6	40.6	268
B00R_100_100d	25.0	29.5	-40.4	50.0	306
B25R_100_100d	35.6	58.6	-20.7	62.1	340
B50R_100_100d	46.1	79.3	-0.2	79.3	359
B75R_100_100d	45.9	74.2	21.1	77.1	15



Siehe ähnliche Dateien: <http://130.149.60.45/~farbmetrik/QG47/QG47L0FP.PDF> / .PS
Technische Information: <http://www.ps.bam.de> oder <http://130.149.60.45/~farbmetrik>

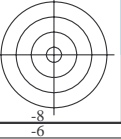
TUB-Registrierung: 20130201-QG47/QG47L0FP.PDF /.PS
Anwendung für Messung von Offsetdruck-Ausgabe, Separation cmy0* (CMY0)
TUB-Material: Code=rh4ta

0-103431-L0 QG470-72

TUB-Prüfvorlage QG47; Buntoncode: $H^*_d = Y25G_d$
Prüfvorlage nach DIN 33872, 3D=1, de=0, $cmy0^*$

Eingabe: $rgb/cmyk \rightarrow rgb_{dd}$
Ausgabe: 3D-Linearisierung $cmy0^*_{dd}$

0-103431-F0



0-103531-L0 QG470-72

TUB-Prüfvorlage QG47; Bunttoncode: $H^*_d=Y25G_d$
Prüfvorlage nach DIN 33872, 3D=1, $de=0$, $cmY0^*$

Eingabe: $rgb/cmyk \rightarrow rgb_{dd}$
Ausgabe: 3D-Linearisierung $cmY0^*_{dd}$



0-103531-F0

Daten der Maximalfarbe M im Farbmetrik-System Offset-Normdruck; Separation cmy0*, D65 für Ein- oder Ausgabe; Sechs Bunttonwinkel der 60-Grad Standardfarben RYGBM_s: $h_{ab,ds} = 30.0, 90.0, 150.0, 210.0, 270.0, 330.0$;
 Sechs Bunttonwinkel der Gerätefarben RYGBM_d: $h_{ab,d} = 32.3, 96.1, 155.5, 238.4, 306.2, 359.8$; Sechs Bunttonwinkel der Elementarfarben RYGBM_e: $h_{ab,e} = 25.5, 92.3, 162.2, 217.0, 271.7, 328.6$

J=Y_d YellowGelb
 $LCH^*_d = 87.8 \ 96.0 \ 96.1$
 $LAB^*_d = 87.8 \ -10.2 \ 95.4$
 $rgb^*_d = 1.0 \ 1.0 \ 0.0$

L=G_d leaf-greenLaubgrün
 $LCH^*_d = 50.0 \ 71.4 \ 155.5$
 $LAB^*_d = 50.0 \ -65.0 \ 29.6$
 $rgb^*_d = 0.0 \ 1.0 \ 0.0$

C=C_d cyan-blueCyanblau
 $LCH^*_d = 56.8 \ 48.7 \ 238.4$
 $LAB^*_d = 56.8 \ -25.5 \ -41.5$
 $rgb^*_d = 0.0 \ 1.0 \ 1.0$

O=R_d orange-redOrangerot
 $LCH^*_d = 45.4 \ 83.9 \ 32.3$
 $LAB^*_d = 45.4 \ 70.9 \ 44.8$
 $rgb^*_d = 1.0 \ 0.0 \ 0.0$

M=M_d magenta-redMagentarot
 $LCH^*_d = 46.1 \ 79.3 \ 359.8$
 $LAB^*_d = 46.1 \ 79.3 \ -0.2$
 $rgb^*_d = 1.0 \ 0.0 \ 1.0$

V=B_d violet-blueViolettblau
 $LCH^*_d = 25.0 \ 50.0 \ 306.2$
 $LAB^*_d = 25.0 \ 29.5 \ -40.4$
 $rgb^*_d = 0.0 \ 0.0 \ 1.0$

Y_e yellowGelb
 $LCH^*_e = 83.6 \ 90.4 \ 92.3$
 $LAB^*_e = 83.6 \ -3.6 \ 90.4$
 $rgb^*_{de} = 1.0 \ 0.878 \ 0.0$

G_e greenGrün
 $LCH^*_e = 50.6 \ 65.2 \ 162.2$
 $LAB^*_e = 50.6 \ -62.1 \ 19.9$
 $rgb^*_{de} = 0.0 \ 1.0 \ 0.151$

C_e blue-greenBlaugrün
 $LCH^*_e = 55.0 \ 45.3 \ 216.9$
 $LAB^*_e = 55.0 \ -36.2 \ -27.2$
 $rgb^*_{de} = 0.0 \ 1.0 \ 0.747$

B_e blueBlau
 $LCH^*_e = 40.2 \ 40.6 \ 271.7$
 $LAB^*_e = 40.2 \ 1.2 \ -40.6$
 $rgb^*_{de} = 0.0 \ 0.458 \ 1.0$

R_e redRot
 $LCH^*_e = 45.6 \ 80.0 \ 25.4$
 $LAB^*_e = 45.6 \ 72.2 \ 34.4$
 $rgb^*_{de} = 1.0 \ 0.0 \ 0.254$

M_e blue-redBlaurot
 $LCH^*_e = 31.1 \ 55.9 \ 328.6$
 $LAB^*_e = 31.1 \ 47.7 \ -29.1$
 $rgb^*_{de} = 0.321 \ 0.0 \ 1.0$

Y_s yellowGelb
 $LCH^*_s = 81.4 \ 87.9 \ 90.0$
 $LAB^*_s = 81.4 \ 0.0 \ 87.9$
 $rgb^*_{ds} = 1.0 \ 0.828 \ 0.0$

G_s greenGrün
 $LCH^*_s = 52.3 \ 68.9 \ 150.0$
 $LAB^*_s = 52.3 \ -59.6 \ 34.4$
 $rgb^*_{ds} = 0.062 \ 1.0 \ 0.0$

C_s blue-greenBlaugrün
 $LCH^*_s = 54.5 \ 45.7 \ 210.0$
 $LAB^*_s = 54.5 \ -39.6 \ -22.8$
 $rgb^*_{ds} = 0.0 \ 1.0 \ 0.685$

R_s redRot
 $LCH^*_s = 45.5 \ 82.4 \ 30.0$
 $LAB^*_s = 45.5 \ 71.3 \ 41.2$
 $rgb^*_{ds} = 1.0 \ 0.0 \ 0.096$

M_s blue-redBlaurot
 $LCH^*_s = 31.6 \ 56.5 \ 330.0$
 $LAB^*_s = 31.6 \ 49.0 \ -28.2$
 $rgb^*_{ds} = 0.337 \ 0.0 \ 1.0$

B_s blueBlau
 $LCH^*_s = 40.9 \ 40.6 \ 270.0$
 $LAB^*_s = 40.9 \ 0.0 \ -40.6$
 $rgb^*_{ds} = 0.0 \ 0.479 \ 1.0$

standard Standard-CIELAB (a^*_s, b^*_s) chroma diagram-Diagramm

Notes to the CIELAB chroma diagrams Anmerkung zu den CIELAB-Buntheits-Diagrammen (a^*_d, b^*_d), (a^*_s, b^*_s), (a^*_e, b^*_e)

- For the 1. Für die rgb^*_e -input values the CIELAB data-Eingabedaten wurden die CIELAB-Daten LCH^*_e und LAB^*_e have been calculated.
- For the calculation of the standard hue angle $h_{ab,s}$ use for any device values rgb^*_e the equation:

$$h_{ab,s} = atan [r^*_d \ cos(30) + g^*_d \ cos(150)] / [r^*_d \ sin(30) + g^*_d \ sin(150) + b^*_d \ sin(270)] \quad (1)$$
- For the 48 or 360 equally spaced standard hue angles 3. Für die 48 oder 360 gleichabständig gestuften Standard-Buntonwinkel $h_{ab,s}$ of the colours of maximum chroma of the seven hue angles of the 60 degree colours die sieben Buntonwinkel der 60Grad-Farben s : $h_{ab,s} = 30.0, 90.0, 150.0, 210.0, 270.0, 330.0, 390.0$ and the equations for a 48 and 360 step hue circle: und die Gleichungen für einen 48- und 360-stufigen Buntonkreis:

$$h_{48ab,sij} = h_{ab,si} + j [h_{ab,si+1} - h_{ab,si}] / 8 \quad (i = 0, 1, \dots, 5; j = 0, 1, \dots, 7) \quad (2)$$

$$h_{360ab,sij} = h_{ab,si} + j [h_{ab,si+1} - h_{ab,si}] / 60 \quad (i = 0, 1, \dots, 5; j = 0, 1, \dots, 59) \quad (3)$$
- For the 48 or 360 elementary hue angles 4. Für die 48 oder 360 Elementar-Buntonwinkel $h_{ab,e}$ of the colours of maximum chroma of the seven hue angles of the elementary colours die sieben Buntonwinkel der Elementarfarben e : $h_{ab,e} = 25.5, 92.3, 162.2, 217.0, 271.7, 328.6$ and the equations for a 48 and 360 step elementary hue circle: und die Gleichungen für einen 48- und 360-stufigen Elementar-Buntonkreis:

$$h_{48ab,eij} = h_{ab,ei} + j [h_{ab,ei+1} - h_{ab,ei}] / 8 \quad (i = 0, 1, \dots, 5; j = 0, 1, \dots, 7) \quad (4)$$

$$h_{360ab,eij} = h_{ab,ei} + j [h_{ab,ei+1} - h_{ab,ei}] / 60 \quad (i = 0, 1, \dots, 5; j = 0, 1, \dots, 59) \quad (5)$$
- For any elementary hue angle 5. Für jeden Elementar-Buntonwinkel $h_{ab,e}$ there is a well defined device hue angle $h_{ab,d}$ gib es einem genau definierten $h_{ab,d}$ siehe die folgenden Tabellen, Spalten 1 bis 5 oder 1 bis 4.
- The values 6. Die Werte rgb^*_e produce the output of the device-independent elementary hues erzeugen die Ausgabe der geräteunabhängigen

Siehe ähnliche Dateien: http://130.149.60.45/~farbmetrik/QG47/QG47L0FP.PDF /.PS; 3D-Linearisierung
 Technische Information: http://www.ps.bam.de oder http://130.149.60.45/~farbmetrik

TUB-Registrierung: 20130201-QG47/QG47L0FP.PDF /.PS
 Anwendung für Messung von Offsetdruck-Ausgabe, Separation cmy0* (C/M/Y)

Daten der Maximalfarbe M im Farbmetrik-System Offset-Normdruck; Separation cmy0*, D65 für Ein- oder Ausgabe; Sechs Bunttonwinkel der 60-Grad Standardfarben RYGBM_c; h_{ab,ds} = 30.0, 90.0, 150.0, 210.0, 270.0, 330.0; Sechs Bunttonwinkel der Gerätefarben RYGBM_d; h_{ab,d} = 32.3, 96.1, 155.5, 238.4, 306.2, 359.8; Sechs Bunttonwinkel der Elementarfarben RYGBM_e; h_{ab,e} = 25.5, 92.3, 162.2, 217.0, 271.7, 328.6

Table with 15 columns: h_{ab,d}, h_{ab,s}, h_{ab,e}, r_{gb}*_{dd}64M, LAB*_{ddx64M} (x=LabCh), r_{gb}*_{ddx361M}, LAB*_{ddx361M} (x=LabCh), r_{gb}*_{dsx361M}, LAB*_{dsx361M} (x=LabCh), r_{gb}*_{dex361M}, LAB*_{dex361M}, and three columns for r_{gb}*_{dd}, r_{gb}*_{ds}, r_{gb}*_{de}. Rows contain numerical data for various color patches.

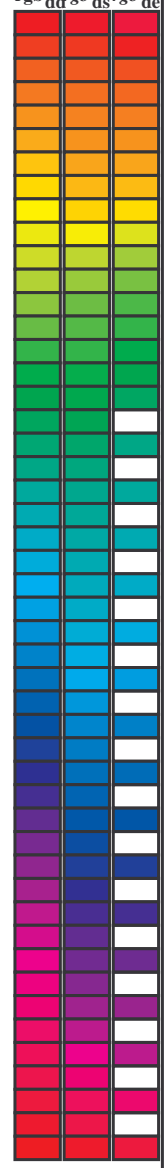


Siehe ähnliche Dateien: <http://130.149.60.45/~farbmetrik/QG47/QG47L0FP.PDF> / .PS
Technische Information: <http://www.ps.bam.de> oder <http://130.149.60.45/~farbmetrik>

TUB-Registrierung: 20130201-QG47/QG47L0FP.PDF /.PS
Anwendung für Messung von Offsetdruck-Ausgabe, Separation cmy0* (CMY0)
TUB-Material: Code=rh4ta

Daten der Maximalfarbe M im Farbmetrik-System Offset-Normdruck; Separation cmy0*, D65 für Ein- oder Ausgabe; Sechs Bunttonwinkel der 60-Grad Standardfarben RYGBM_c: h_{ab,ds} = 30.0, 90.0, 150.0, 210.0, 270.0, 330.0; Sechs Bunttonwinkel der Gerätefarben RYGBM_d: h_{ab,d} = 32.3, 96.1, 155.5, 238.4, 306.2, 359.8; Sechs Bunttonwinkel der Elementarfarben RYGBM_e: h_{ab,e} = 25.5, 92.3, 162.2, 217.0, 271.7, 328.6

h _{ab,d}	h _{ab,s}	h _{ab,e}	rgb ^{b*} _{dd64M}	LAB [*] _{dd64M}	LAB [*] _{dex361M}	LAB [*] _{dex361M}
32.3	30.0	25.4	1.0 0.0 0.0	45.4 70.9 44.8 83.9 32.3	32.3	1.0 0.0 0.255 45.7 72.2 34.4 80.0 25
38.1	37.5	33.8	1.0 0.125 0.0	48.9 62.8 49.4 79.9 38.1	38.1	1.0 0.021 0.0 46.0 69.6 45.7 83.3 33
46.8	45.0	42.1	1.0 0.25 0.0	53.6 51.9 55.5 76.0 46.8	46.8	1.0 0.183 0.0 51.1 57.9 52.5 78.1 42
56.9	52.5	50.5	1.0 0.375 0.0	59.1 40.3 62.0 74.0 56.9	56.9	1.0 0.288 0.0 55.4 48.5 57.8 75.4 49
67.1	60.0	58.8	1.0 0.5 0.0	64.9 28.9 68.6 74.5 67.1	67.1	1.0 0.398 0.0 60.3 38.3 63.5 74.1 58
78.6	67.5	67.2	1.0 0.625 0.0	72.1 15.4 77.1 78.6 78.6	78.6	1.0 0.494 0.0 64.6 29.5 68.4 74.5 66
86.2	75.0	75.6	1.0 0.75 0.0	77.9 5.4 83.8 84.0 86.2	86.2	1.0 0.592 0.0 70.2 19.3 75.2 77.6 75
92.1	82.5	83.9	1.0 0.875 0.0	83.4 -3.4 90.2 90.2 92.1	92.1	1.0 0.703 0.0 75.8 9.4 81.5 82.0 83
96.1	90.0	92.3	1.0 1.0 0.0	87.8 -10.2 95.4 96.0 96.1	96.1	1.0 0.879 0.0 83.6 -3.6 90.4 90.5 92
98.8	97.5	101.0	0.875 1.0 0.0	84.3 -13.9 89.2 90.3 98.8	98.8	0.807 1.0 0.0 82.4 -15.8 86.2 87.7 100
101.8	105.0	109.7	0.75 1.0 0.0	80.7 -17.5 83.5 85.3 101.8	101.8	0.583 1.0 0.0 73.7 -26.1 72.7 77.3 109
107.6	112.5	118.5	0.625 1.0 0.0	75.3 -24.0 75.7 79.4 107.6	107.6	0.434 1.0 0.0 68.0 -32.9 62.2 70.5 117
114.0	120.0	127.2	0.5 1.0 0.0	70.6 -29.7 66.5 72.8 114.0	114.0	0.322 1.0 0.0 62.6 -40.8 53.8 67.6 127
121.4	127.5	136.0	0.375 1.0 0.0	65.7 -35.6 58.3 68.3 121.4	121.4	0.249 1.0 0.0 58.4 -47.4 46.8 66.6 135
135.3	135.0	144.7	0.25 1.0 0.0	58.4 -47.3 46.8 66.6 135.3	135.3	0.122 1.0 0.0 54.6 -54.2 38.4 66.5 144
144.4	142.5	153.4	0.125 1.0 0.0	54.7 -53.9 38.5 66.3 144.4	144.4	0.03 1.0 0.0 51.2 -62.4 32.0 70.2 152
155.5	150.0	162.2	0.0 1.0 0.0	50.0 -65.0 29.6 71.4 155.5	155.5	0.0 1.0 0.151 50.7 -62.0 19.9 65.2 162
160.7	157.5	169.0	0.0 1.0 0.125 50.5	-62.8 21.9 66.5 160.7	160.7	0.0 1.0 0.261 51.3 -58.5 11.8 59.8 168
167.7	165.0	175.9	0.0 1.0 0.25 51.2	-58.9 12.7 60.3 167.7	167.7	0.0 1.0 0.364 52.0 -55.0 3.9 55.2 175
176.7	172.5	182.7	0.0 1.0 0.375 52.0	-54.5 3.1 54.6 176.7	176.7	0.0 1.0 0.43 52.5 -52.2 2.0 52.3 182
189.3	180.0	189.6	0.0 1.0 0.5 52.9	-48.6 -8.0 49.3 189.3	189.3	0.0 1.0 0.502 53.0 -48.5 -8.1 49.3 189
203.2	187.5	196.4	0.0 1.0 0.625 54.0	-42.3 -18.1 46.1 203.2	203.2	0.0 1.0 0.56 53.5 -45.9 -13.1 47.8 195
217.2	195.0	203.2	0.0 1.0 0.75 55.0	-36.0 -27.4 45.3 217.2	217.2	0.0 1.0 0.626 54.1 -42.3 -18.1 46.1 203
228.3	202.5	210.1	0.0 1.0 0.875 55.8	-30.7 -34.5 46.2 228.3	228.3	0.0 1.0 0.682 54.5 -39.6 -22.6 45.7 209
238.4	210.0	216.9	0.0 1.0 1.0 56.8	-25.5 -41.5 48.7 238.4	238.4	0.0 1.0 0.747 55.0 -36.1 -27.2 45.3 216
242.9	217.5	223.8	0.0 0.875 1.0 54.1	-21.1 -41.3 46.4 242.9	242.9	0.0 1.0 0.819 55.5 -33.2 -31.3 45.8 223
249.3	225.0	230.6	0.0 0.75 1.0 50.4	-15.5 -41.1 43.9 249.3	249.3	0.0 1.0 0.904 56.1 -29.6 -36.1 46.8 230
256.9	232.5	237.5	0.0 0.625 1.0 46.5	-9.4 -40.8 41.9 256.9	256.9	0.0 1.0 0.983 56.7 -26.2 -40.5 48.4 237
268.2	240.0	244.3	0.0 0.5 1.0 41.7	-1.2 -40.6 40.6 268.2	268.2	0.0 0.847 1.0 53.3 -19.8 -41.3 45.9 244
278.6	247.5	251.2	0.0 0.375 1.0 37.3	6.1 -40.2 40.7 278.6	278.6	0.0 0.726 1.0 49.7 -14.3 -41.1 43.6 250
289.6	255.0	258.0	0.0 0.25 1.0 32.8	14.3 -40.2 42.7 289.6	289.6	0.0 0.613 1.0 46.1 -8.6 -40.8 41.9 258
299.0	262.5	264.8	0.0 0.125 1.0 28.6	22.4 -40.2 46.1 299.0	299.0	0.0 0.542 1.0 43.4 -3.9 -40.8 41.1 264
306.2	270.0	271.7	0.0 0.0 1.0 25.0	29.5 -40.4 50.0 306.2	306.2	0.0 0.458 1.0 40.3 1.2 -40.6 40.7 271
314.7	277.5	278.8	0.125 0.0 1.0 27.9	36.0 -36.4 51.2 314.7	314.7	0.0 0.378 1.0 37.5 5.9 -40.2 40.7 278
322.1	285.0	285.9	0.25 0.0 1.0 28.8	41.9 -32.5 53.1 322.1	322.1	0.0 0.292 1.0 34.4 11.6 -40.3 42.0 285
333.3	292.5	293.0	0.375 0.0 1.0 32.7	51.8 -26.0 58.0 333.3	333.3	0.0 0.211 1.0 31.5 16.8 -40.3 43.8 292
340.5	300.0	300.1	0.5 0.0 1.0 35.6	58.6 -20.7 62.1 340.5	340.5	0.0 0.106 1.0 28.1 23.5 -40.3 46.7 300
347.9	307.5	307.2	0.625 0.0 1.0 38.1	65.4 -14.0 66.9 347.9	347.9	0.0 0.009 0.0 25.3 30.1 -40.1 50.2 306
352.5	315.0	314.3	0.75 0.0 1.0 41.8	71.0 -9.2 71.6 352.5	352.5	0.0 0.12 0.0 27.8 35.8 -36.5 51.2 314
356.1	322.5	321.4	0.875 0.0 1.0 44.2	75.2 -5.0 75.3 356.1	356.1	0.0 0.231 0.0 28.7 41.1 -33.2 52.9 321
359.8	330.0	328.6	1.0 0.0 1.0 46.1	79.3 -0.2 79.3 359.8	359.8	0.0 0.322 0.0 31.1 47.8 -29.1 56.0 328
363.0	337.5	335.7	1.0 0.0 0.875 45.9	78.2 4.1 78.3 363.0	363.0	0.0 0.408 0.0 33.5 53.7 -24.7 59.1 335
366.4	345.0	342.8	1.0 0.0 0.75 45.9	77.1 8.6 77.6 366.4	366.4	0.0 0.539 0.0 36.4 60.8 -18.7 63.7 342
371.1	352.5	349.9	1.0 0.0 0.625 46.0	75.6 14.8 77.0 371.1	371.1	0.0 0.667 0.0 39.3 67.4 -12.4 68.5 349
375.9	360.0	357.0	1.0 0.0 0.5 45.9	74.2 21.1 77.1 375.9	375.9	0.0 0.736 0.0 41.4 70.5 -9.7 71.1 352
381.2	367.5	364.1	1.0 0.0 0.375 45.8	72.9 28.3 78.3 381.2	381.2	0.0 0.81 0.0 46.1 79.3 -0.1 79.3 359
385.6	375.0	371.2	1.0 0.0 0.25 45.6	72.1 34.6 80.0 385.6	385.6	0.0 0.687 46.0 76.5 11.8 77.4 368
389.3	382.5	378.3	1.0 0.0 0.125 45.5	71.4 40.1 81.9 389.3	389.3	0.0 0.485 45.9 74.1 22.0 77.3 376
392.3	390.0	385.4	1.0 0.0 0.0 45.4	70.9 44.8 83.9 392.3	392.3	1.0 0.0 0.255 45.7 72.2 34.4 80.0 385

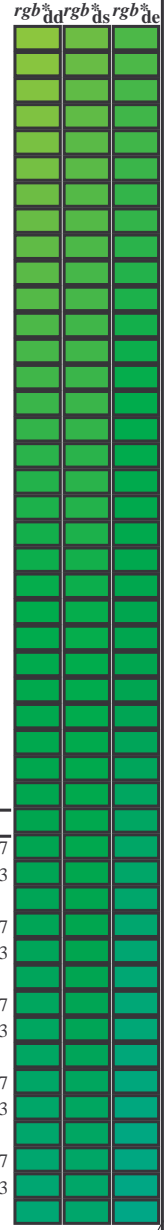


Siehe ähnliche Dateien: <http://130.149.60.45/~farbmetrik/QG47/QG47L0FP.PDF>
Technische Information: <http://www.ps.bam.de> oder <http://130.149.60.45/~farbmetrik>

TUB-Registrierung: 20130201-QG47/QG47L0FP.PDF /.PS TUB-Material: Code=rhata
Anwendung für Messung von Offsetdruck-Ausgabe, Separation cmy0* (CMY0)

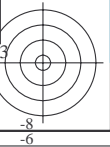
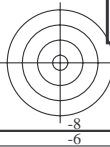
Daten der Maximalfarbe M im Farbmetrik-System Offset-Normdruck; Separation cmy0*, D65 für Ein- oder Ausgabe; Sechs Bunttonwinkel der 60-Grad Standardfarben RYGBM_c: h_{ab,ds} = 30.0, 90.0, 150.0, 210.0, 270.0, 330.0; Sechs Bunttonwinkel der Gerätefarben RYGBM_d: h_{ab,d} = 32.3, 96.1, 155.5, 238.4, 306.2, 359.8; Sechs Bunttonwinkel der Elementarfarben RYGBM_e: h_{ab,e} = 25.5, 92.3, 162.2, 217.0, 271.7, 328.6

Table with multiple columns: h_{ab,d}, h_{ab,s}, h_{ab,e}, rgb*dd361M, LAB* ddx361Mi (x=LabCh), rgb*ds361Mi, LAB* dsx361Mi (x=LabCh), rgb*dd361Mi, rgb*de361Mi, LAB* dex361Mi (x=LabCh), rgb*dd361Mi. Rows 114-167.



Siehe ähnliche Dateien: http://130.149.60.45/~farbmetrik/QG47/QG47.HTM Technische Information: http://www.ps.bam.de oder http://130.149.60.45/~farbmetrik

TUB-Registrierung: 20130201-QG47/QG47L0FP.PDF /.PS TUB-Material: Code=rh4ta Anwendung für Messung von Offsetdruck-Ausgabe, Separation cmy0* (CMY0)



Daten der Maximalfarbe M im Farbmetrik-System Offset-Normdruck; Separation cmy0*, D65 für Ein- oder Ausgabe; Sechs Bunttonwinkel der 60-Grad Standardfarben RYGBM_c: h_{ab,ds} = 30.0, 90.0, 150.0, 210.0, 270.0, 330.0; Sechs Bunttonwinkel der Gerätefarben RYGBM_d: h_{ab,d} = 32.3, 96.1, 155.5, 238.4, 306.2, 359.8; Sechs Bunttonwinkel der Elementarfarben RYGBM_e: h_{ab,e} = 25.5, 92.3, 162.2, 217.0, 271.7, 328.6

h _{ab,d}	h _{ab,s}	h _{ab,e}	rgb* dd361M	LAB* ddx361Mi (x=LabCh)	C _d	rgb* ds361Mi	LAB* dsx361Mi (x=LabCh)	C _s	rgb* dd361Mi	LAB* de361Mi	C _c	rgb* dd361Mi	LAB* dex361Mi (x=LabCh)	C _e	rgb* dd361Mi	rgb* dd	rgb* ds	rgb* de																					
238	210	216	0.0	1.0	1.0	56.8	-25.5	-41.5	48.7	238	0.0	1.0	0.685	54.5	-39.5	-22.8	45.7	210	0.0	1.0	0.0	0.0	0.0	0.0	0.0	0.0	0.0	0.0	0.0	0.0	0.0	0.0	0.0	0.0	0.0	0.0	0.0	0.0	0.0

Technische Information: <http://130.149.60.45/~farbmetrik/QG47/QG47L0FP.PDF> / .PS
<http://www.ps.bam.de> oder <http://130.149.60.45/~farbmetrik>

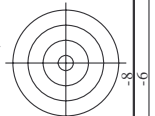
TUB-Registrierung: 20130201-QG47/QG47L0FP.PDF /.PS TUB-Material: Code=rh4ta
 Anwendung für Messung von Offsetdruck-Ausgabe, Separation cmy0* (CMY0)

http://130.149.60.45/~farbmetrik/QG47/QG47L0FP.PDF /.PS; 3D-Linearisierung F: 3D-Linearisierung QG47/QG47LG30FP.DAT in Datei (F), Seite 18/33

Table with columns: nrf, HHC*Fid, rgb_Fid, icr_Fid, hsa_Fid, rgb*Fid, LabC*Fid, cmy*sep_Fid, rha*Fid, hsa*Fid, rgb*Fid, LabC*Fid, cmy*sep_Fid, delta. Rows include color names like R000, R001, Y000, etc.

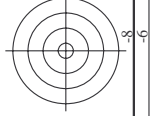
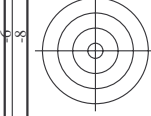
Eingabe: rgb/cmyk -> rbgdd Ausgabe: 3D-Linearisierung cmy0*.dd

TUB-Prüfvorlage QG47; Bunttoncode: H*d=Y25Gd Farben und Farbabstände, ΔE*



http://130.149.60.45/~farbmatrik/QG47/QG47LOFP.PDF /.PS; 3D-Linearisierung
F: 3D-Linearisierung QG47/QG47LG30FP.DAT in Datei (F), Seite 19/33

Table with 15 columns: nufj, HfC_Fold, rgb_Fold, icr_Fold, Hfs_Fold, rgb_Fold, LabCm_Fold, LabCm_Fold, cmy0_sep_Fold, cmy0_sep_Fold, rcpm_Mid, Hsv_Mid, LabCm_Mid, LabCm_Mid, delta. Rows include various color calibration patches and their corresponding measurement data.



QG47L0L

http://130.149.60.45/~farbmetrik/QG47/QG47L0FP.PDF /.PS; 3D-Linearisierung
F: 3D-Linearisierung QG47/QG47LG30FP.DAT in Datei (F), Seite 20/33

Table with 15 columns: #F, HIC*Fid, rgb*Fid, icr*Fid, hsa*Fid, LabC*Fid, LabCH*Fid, cmyk*sep,Fid, rgb*Mid, hsa*Mid, LabCH*Mid, LabCH*Mid, rgb*Mid, hsa*Mid, LabCH*Mid. Rows 0-80.

Eingabe: rgb/cmyk -> rbgdd
Ausgabe: 3D-Linearisierung cmy0*dd

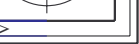
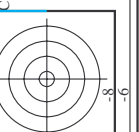
TUB-Prüfvorlage QG47; Bunttoncode: H*d=Y25Gd
Farben und Farbabstände, ΔE*

Table with columns: n, HHC*Feld, rgb_Feld, icr_Feld, hsa_Feld, rgp_Feld, LabCM*Feld, cmyk*_sep_Feld, LabCM*_Feld, hsa_Mid, rgp_Mid, LabCM*_Mid, delta. It contains 242 rows of color calibration data.

Table with columns: n, HHC*Feld, rgb_Feld, icr_Feld, hsa_Feld, rgb*Feld, LabC*Feld, LabC*Feld, cmy*sep.Feld, hsa*Feld, rgb*Feld, LabC*Feld, LabC*Feld, delta. It contains 323 rows of color calibration data.

QG4710L

QG4710L



http://130.149.60.45/~farbmetrik/QG47/QG47LOFP.PDF /.PS; 3D-Linearisierung
F: 3D-Linearisierung QG47/QG47LG30FP.DAT in Datei (F), Seite 24/33

Table with 20 columns: n, HHC_Feld, rpb_Feld, icr_Feld, hsa_Feld, rpb_Feld, LabCM_Feld, cmy0_sep_Feld, hsa_Feld, rpb_Feld, LabCM_Feld, delta. The table contains 404 rows of data for various color patches.

delta

TUB-Prüfvorlage QG47; Bunttoncode: H*d=Y25Gd
Farben und Farbabstände, ΔE*
Eingabe: rgb/cmyk -> rbgdd
Ausgabe: 3D-Linearisierung cmy0*dd

QG470-7N; Seite 24/33-F

0-1032331-F0

0-1032331-F0

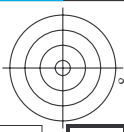
http://130.149.60.45/~farbmetrik/QG47/QG47LOFP.PDF /.PS; 3D-Linearisierung
F: 3D-Linearisierung QG47/QG47LG30FP.DAT in Datei (F), Seite 25/33

Table with columns: n, HHC*Fid, rgb_Fid, iet_Fid, fms_Fid, rcpb_Fid, LabCM*Fid, cmyk*_sep,Fid, fms, LabCM*_Fid, H*a*_Fid, rcpb*_Fid, LabCM*_Fid, delta

Eingabe: rgb/cmyk -> rgbdd
Ausgabe: 3D-Linearisierung cmy0*dd

TUB-Prüfvorlage QG47; Bunttoncode: H*d=Y25Gd
Farben und Farbabstände, ΔE*

QG4710L



M

Y

O

L

V

C

S

http://130.149.60.45/~farbmetrik/QG47/QG47L0FP.PDF /.PS; 3D-Linearisierung
F: 3D-Linearisierung QG47/QG47LG30FP.DAT in Datei (F), Seite 26/33

Table with 6 columns: n, HHC*F0d, rgb_F0d, icr_F0d, Hsa_F0d, rgb^*F0d, LabC0^*F0d, LabC0^*Sep.F0d, cmy0^*Sep.F0d, LabC0^*F0d, Hsa^*F0d, rgb^*F0d, LabC0^*F0d, LabC0^*F0d, delta. Rows 486-566.

Siehe ähnliche Dateien: http://130.149.60.45/~farbmetrik/QG47/QG47L0FP.PDF /.PS
Technische Information: http://www.ps.bam.de oder http://130.149.60.45/~farbmetrik

O=1032531-F0

QG470-7N, Seite 26/33-F

TUB-Prüfvorlage QG47; Bunttoncode: H*d=Y25Gd
Farben und Farbabstände, ΔE*

Eingabe: rgb/cmyk -> rgbdd
Ausgabe: 3D-Linearisierung cmy0*dd

L

O

Y

M

C

S

Table with 3 columns: H* (hue), S* (saturation), Z* (brightness). Values range from 0.0 to 1.0. Includes a color bar on the left and registration marks on the right.

Table with 3 columns: R* (red), G* (green), B* (blue). Values range from 0.0 to 1.0. Includes a color bar on the left and registration marks on the right.

Table with 3 columns: R** (red), G** (green), B** (blue). Values range from 0.0 to 1.0. Includes a color bar on the left and registration marks on the right.

Table with 3 columns: r* (red), g* (green), b* (blue). Values range from 0.0 to 1.0. Includes a color bar on the left and registration marks on the right.

Table with 3 columns: r** (red), g** (green), b** (blue). Values range from 0.0 to 1.0. Includes a color bar on the left and registration marks on the right.

Table with 3 columns: L* (lightness), a* (red-green), b* (blue-yellow). Values range from 0.0 to 1.0. Includes a color bar on the left and registration marks on the right.

Eingabe: rgb/cmyk -> rgbd
Ausgabe: 3D-Linearisierung cmy0*.dd

TUB-Prüfvorlage QG47; Bunttoncode: H*d= Y25Gd
Farben und Farbabstände, ΔE*_u

0-1032731-F0
0-1032731-F0
0-1032731-F0

QG4710L

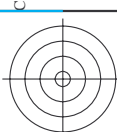
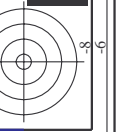
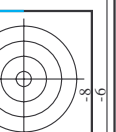


Table with 28 columns: n, HIC*Feld, rpb_Feld, icr_Feld, Ina_Feld, rpb_Feld, LabCh*Feld, cmy0*_sep.Feld, rpb_Feld, Ina_Feld, rpb_Feld, LabCh*Feld, cmy0*_sep.Feld, delta



http://130.149.60.45/~farbmetrik/QG47/QG47L0FP.PDF /.PS; 3D-Linearisierung
F: 3D-Linearisierung QG47/QG47LG30FP.DAT in Datei (F), Seite 32/33

Table with columns: n, H#C*F0d, rpb_F0d, icr_F0d, ins_F0d, rpb_F0d, LabC*F0d, cmy0*_sep_F0d, rha_X,d, rpb*_Y,d, LabC*F0d, delta

Eingabe: rgb/cmyk -> rbgdd
Ausgabe: 3D-Linearisierung cmy0*dd

TUB-Prüfvorlage QG47; Bunttoncode: H*d=Y25Gd
Farben und Farbabstände, ΔE*_a

n	HHC*Fid	rgb_Fid	icr_Fid	hsa_Fid	rgb*Fid	LabC*Fid	cmyk*_sep_Fid	0.099	0.0	hsa_Lid	rgb*_Lid	LabC*_Lid	0.0	0.0
1053	NW_0860dd	0.866	0.866	0.866	0.866	0.866	0.173	0.0	0.0	360	1.0	95.6	0.0	0.0
1054	NW_0920dd	0.933	0.933	0.933	0.933	0.933	0.09	0.05	0.0	360	1.0	95.6	0.0	0.0
1055	NW_1000dd	1.0	1.0	1.0	1.0	1.0	0.0	0.0	0.0	360	1.0	95.6	0.0	0.0
1056	NW_0060dd	0.066	0.066	0.066	0.066	0.066	1.0	1.0	1.0	360	1.0	95.6	0.0	0.0
1057	NW_0060dd	0.066	0.066	0.066	0.066	0.066	0.935	0.825	0.0	360	1.0	95.6	0.0	0.0
1058	NW_0130dd	0.133	0.133	0.133	0.133	0.133	0.879	0.725	0.0	360	1.0	95.6	0.0	0.0
1059	NW_0260dd	0.266	0.266	0.266	0.266	0.266	0.799	0.661	0.0	360	1.0	95.6	0.0	0.0
1060	NW_0260dd	0.266	0.266	0.266	0.266	0.266	0.731	0.571	0.0	360	1.0	95.6	0.0	0.0
1061	NW_0330dd	0.333	0.333	0.333	0.333	0.333	0.682	0.537	0.0	360	1.0	95.6	0.0	0.0
1062	NW_0460dd	0.466	0.466	0.466	0.466	0.466	0.636	0.485	0.0	360	1.0	95.6	0.0	0.0
1063	NW_0460dd	0.466	0.466	0.466	0.466	0.466	0.574	0.433	0.0	360	1.0	95.6	0.0	0.0
1064	NW_0530dd	0.533	0.533	0.533	0.533	0.533	0.509	0.354	0.0	360	1.0	95.6	0.0	0.0
1065	NW_0530dd	0.533	0.533	0.533	0.533	0.533	0.442	0.278	0.0	360	1.0	95.6	0.0	0.0
1066	NW_0660dd	0.666	0.666	0.666	0.666	0.666	0.377	0.228	0.0	360	1.0	95.6	0.0	0.0
1067	NW_0730dd	0.734	0.734	0.734	0.734	0.734	0.314	0.186	0.0	360	1.0	95.6	0.0	0.0
1068	NW_0860dd	0.866	0.866	0.866	0.866	0.866	0.252	0.153	0.0	360	1.0	95.6	0.0	0.0
1069	NW_0860dd	0.866	0.866	0.866	0.866	0.866	0.173	0.099	0.0	360	1.0	95.6	0.0	0.0
1070	NW_0920dd	0.933	0.933	0.933	0.933	0.933	0.09	0.05	0.0	360	1.0	95.6	0.0	0.0
1071	NW_1000dd	1.0	1.0	1.0	1.0	1.0	0.0	0.0	0.0	360	1.0	95.6	0.0	0.0
1072	NW_1000dd	1.0	1.0	1.0	1.0	1.0	1.0	1.0	1.0	360	1.0	95.6	0.0	0.0
1073	ROY_100_100dd	1.0	1.0	1.0	1.0	1.0	0.0	0.0	0.0	360	1.0	95.6	0.0	0.0
1074	ROY_100_100dd	1.0	1.0	1.0	1.0	1.0	0.0	0.0	0.0	389	1.0	45.4	70.9	44.8
1075	GS0B_100_100dd	0.0	1.0	1.0	1.0	1.0	1.0	0.0	0.0	210	0.0	0.0	0.0	0.0
1076	Y06C_100_100dd	1.0	1.0	1.0	1.0	1.0	0.0	0.0	0.0	89	1.0	87.8	-10.2	95.4
1077	B04C_100_100dd	0.0	0.0	1.0	1.0	1.0	0.999	0.0	0.0	270	0.0	29.5	40.4	50.0
1078	B08C_100_100dd	0.0	0.0	1.0	1.0	1.0	1.0	0.0	0.0	330	0.0	50.0	-63.0	29.5
1079	B50R_100_100dd	1.0	0.0	1.0	1.0	1.0	0.0	0.0	0.0	330	1.0	46.1	79.3	-0.2

delta